



(7) 式を(6)式に代入すれば、

$$\alpha \beta \frac{dC_b}{d\xi} + W_p C_b = 0 \quad (8)$$

$$\xi = x, \quad \alpha = \int_0^x f \cdot g \, d\eta \quad \beta = U_m (h_1 + h_2) \quad ; \text{単位幅流量}$$

(8) 式を解けば、

$$C_b(\xi) = C_{b0} e^{-\frac{W_p}{\alpha \beta} \xi} \quad (9)$$

を得る。

$\xi = x$  とき、 $C_{b0}$  は段丘肩  $\xi = x - x_f = 0$  における河床濃度

2) 段丘の進行について

浮遊砂を含む場合にも、近似的に段丘肩は水平に進行し、段丘肩における掃流砂量  $\delta_{b0}$  及び河床濃度  $C_{b0}$  はほぼ一定を保つことはよく知られている。

図-2に示すような記号を用い、微小時間  $\Delta t$  の後に段丘肩が  $\Delta x_f$  進行したとすれば次の各式を得る。

$$\frac{dh_{b0}}{dt} + \frac{dh_{f0}}{dt} = \lambda_b \frac{dx_f}{dt} \quad (10)$$

$$h_{b0} \frac{dx_f}{dt} = \frac{\delta_{b0}}{1-\lambda} \quad (11)$$

$$\frac{dh_{f0}}{dt} = \frac{W_p C_{b0}}{1-\lambda} + \frac{\partial h_{f0}}{\partial x} \Big|_{x=x_f} \frac{dx_f}{dt} = \frac{W_p C_{b0}}{1-\lambda} + \frac{\delta_{b0}}{(1-\lambda)h_{b0}} \cdot \frac{\partial h_{f0}}{\partial \xi} \Big|_{\xi=0} \quad (12)$$

(10)(11)(12) 式より  $dh_{b0}/dt$ ,  $dh_{f0}/dt$ ,  $dx_f/dt$  を求めれば、

$$\frac{dh_{b0}}{dt} = (\lambda_b - \frac{\partial h_{f0}}{\partial \xi} \Big|_{\xi=0}) \cdot \frac{\delta_{b0}}{(1-\lambda)h_{b0}} - \frac{C_{b0} W_p}{1-\lambda} \quad (13)$$

$$\frac{dh_{f0}}{dt} = \frac{\delta_{b0}}{(1-\lambda)h_{b0}} \cdot \frac{\partial h_{f0}}{\partial \xi} \Big|_{\xi=0} + \frac{C_{b0} W_p}{1-\lambda} \quad (14)$$

$$\frac{dx_f}{dt} = \frac{\delta_{b0}}{(1-\lambda)h_{b0}} \quad (15)$$

を得る。Bottom-set bed における堆積厚を  $h_f$  とすれば(9)式より

$$\frac{\partial h_f}{\partial x} = \frac{W_p}{1-\lambda} C_b = \frac{C_{b0} W_p}{1-\lambda} e^{-\frac{W_p}{\alpha \beta} (x-x_f)}$$

となる。これを  $x$  で積分し、 $x = x_f$  とき  $h_f = h_{f0}$  の条件を用いれば、

$$h_f = h_{f0} e^{-\frac{W_p}{\alpha \beta} (x-x_f)} \quad (16)$$

となる。(16) 式を(13)(14)式に代入すれば、とれど

$$\frac{dh_{b0}}{dt} = (\lambda_b + \frac{W_p}{\alpha \beta} h_{f0}) \frac{\delta_{b0}}{(1-\lambda)h_{b0}} - \frac{C_{b0} W_p}{1-\lambda} \quad (13)'$$

$$\frac{dh_{f0}}{dt} = -\frac{W_p}{\alpha \beta} h_{f0} \frac{\delta_{b0}}{(1-\lambda)h_{b0}} + \frac{C_{b0} W_p}{1-\lambda} \quad (14)'$$

となる。 $\therefore$   $\therefore$  関係諸量を次のように無次元化する。

$$\begin{aligned} H_{b0} &= h_{b0}/h_0 & H_{f0} &= h_{f0}/h_0 & H_f &= h_f/h_0 \\ X_f &= x_f/h_0 & X &= x/h_0 & \Gamma &= \delta_{b0} t / (1-\lambda) h_0^2 \\ \theta &= C_{b0} W_p h_0 / \delta_{b0} & \mu &= W_p h_0 / \alpha \cdot \beta \end{aligned} \quad (17)$$

$\therefore$   $\therefore$   $h_0$  は初期堆積厚である。

(17) 式を(13)'(14)'(15)に代入すればとれど

$$\frac{dH_{b0}}{dT} = (\lambda_b + \mu H_{f0}) \frac{1}{H_{b0}} - \theta \quad (18)$$

$$\frac{dH_f}{dT} = -\mu \frac{H_f}{H_{b0}} + \theta \quad (19)$$

$$\frac{dX_f}{dT} = \frac{1}{H_{b0}} \quad (20)$$

$$H_f = H_{f0} e^{-\mu(X-X_f)} \quad (21)$$

となる。次に示す初期条件より数値計算を行う。

$$T=0 \quad : \quad H_{b0}=1 \quad H_{f0}=0 \quad (22)$$

$$X_f = x_0/r_0 \quad H_f=0$$

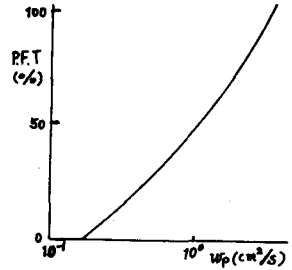


図-3 供給砂沈降速度分析結果

### 3. 実験と解析の比較

実験には、長さ11m、幅40cm、深さ30cmの片面アクリル製の可変勾配水路を使用した。上流端には、箱砂装置が設けられ、傾斜板を程々水路幅一様に供給砂(珪砂)が振がるようにしている。流速は、フロウ流速計により測定し、浮遊砂濃度はサイフォンで直接抽出し秤量した。表-1は、実験諸元を与え、これには芦田等<sup>1)</sup>による実験も同時に示している。図-3は、供給砂の沈降速度分析結果を与える。

段丘層を越えた掃流砂量 $g_{b0}$ は、段丘進行速度 $V_s$ 、Top-set bedにおける河床波の平均波高 $H$ より次式で求める。

$$g_{b0} = (1-\lambda) V_s H \quad (23)$$

ここに、堆砂の空隙率 $\lambda=0.4$ とした。

芦田等の実験では、 $H$ が明らかでないのが藤原植公式により $g_{b0}=0.047 \text{ cm}^3/\text{s}$ を決定した。図-4は、

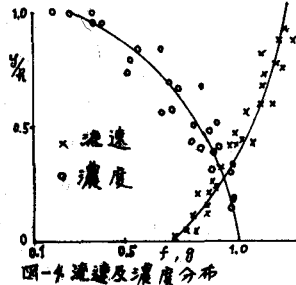


図-4 流速及濃度分布

Bottom-set bed上の流

速及び浮遊砂濃度分布の著者等による実験例を示す。実験値はかぶりばらっているが、近似的に図の実線のような分布形を仮定し $\alpha$ を決定した。芦田等の実験に対しても同様である。図-5図-6は、それぞれ著者等及び芦田等による堆砂形状の実験値と解析値を比較している。Fore-set bedの形状は、近似的に(21)式を $X \rightarrow X_f$ まで拡張して決定した。このように、実験と解析はほぼ一致し、以上のような解析で浮遊砂をも含む貯水池の堆砂を議論できることが判った。実験に絶大な援助をして頂いたパシフィックコンサルタント各口重隆氏に謝意を表します。なお、数値計算には、東京大学数物院設 Facom 230-455 を使用したことを付記する。

参考文献：1) 芦田, 芦田, 大同, 前田 "浮遊流砂による貯水池の堆砂に関する研究" 京大防災研年報 第7号 昭.39.3 P.348

2) 植, 平野, 上浜 "浮遊流砂の流入による貯水池の堆砂過程" 第24回年次学術講演会概要集 昭.44.10 P.267

3) 杉尾, 圓部 "浮遊土砂による貯水池の堆砂について" 第29回年次学術講演会概要集 昭.49.10 P.247

	$g$ [cm <sup>3</sup> /s]	供給砂 濃度 $g_{b0}$ [cm <sup>3</sup> /s]	$C_{b0}$ [ppm]	供給砂 $u_{p0}$ [cm/s]	$i_b$	$\alpha$	$V_s$ [cm/s]	$H$ [cm]	
著者等の 実験	2.25	0.114	0.04	562	0.5	1/50	0.75	0.016	4.1
芦田等の 実験	2.50	0.569	—	—	0.4	1/308	0.7	0.027	—

表-1 実験諸元

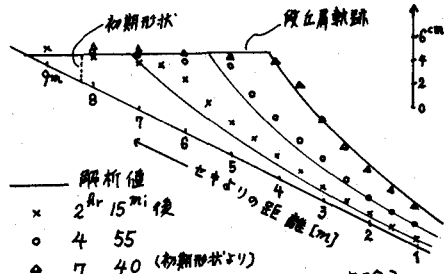


図-5 堆砂形状(著者等による実験)

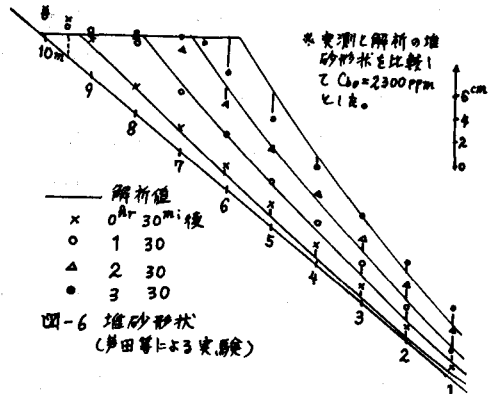


図-6 堆砂形状(芦田等による実験)